

УДК 541.64

ФИЗИЧЕСКАЯ ХИМИЯ

К. А. БОГДАНОВА, А. К. БОНЕЦКАЯ, Ал. Ал. БЕРЛИН, Г. В. РАКОВА,
член-корреспондент АН СССР Н. С. ЕНИКОЛОПЯН

**О ТЕПЛОВЫХ ЭФФЕКТАХ ПОЛИМЕРИЗАЦИИ ТРИОКСАНА
И ТЕТРАОКСАНА**

В последнее время, наряду с исследованием кинетики и механизма полимеризации циклических ацеталей — триоксана и тетраоксана, появились работы, посвященные термодинамическим характеристикам и термодинамике полимеризации этих циклов⁽¹⁻³⁾. Однако некоторые данные по термодинамическим константам, полученные разными методами, находятся

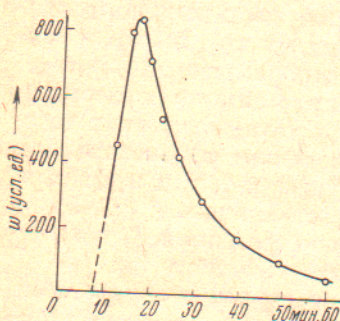


Рис. 1. Дифференциальная кинетическая кривая полимеризации тетраоксана в нитробензоле

$\text{BF}_3 \cdot \text{Et}_2\text{O}$ и теплоты растворения триоксана и тетраоксана в этих растворителях.

Полимеризацию триоксана и тетраоксана проводили при концентрациях мономеров $2,5 - 4,1$ мол/л и $0,8$ мол/л и концентрациях $\text{BF}_3 \cdot \text{Et}_2\text{O}$ $6 \cdot 10^{-4} - 2 \cdot 10^{-3}$ мол/л и $3 \cdot 10^{-4}$ мол/л соответственно при 30°C . Осложняющим моментом реакций является выпадение образующегося полимера в твердую фазу. Тепловые эффекты полимеризации определяли при помощи двойного калориметра с компенсационным методом измерения. С этой целью проводили графическое интегрирование кинетических кривых (рис. 1) в координатах скорость выделения тепла (усл. ед.) — время и весовым методом определяли количество образовавшегося полимера к моменту окончания наблюдения реакции.

Интегральные энталпии растворения триоксана и тетраоксана измеряли в калориметре с изотермической оболочкой. Температуру регистрировали с помощью платинового термометра сопротивления.

В табл. 1 приведены результаты термохимических измерений реакций полимеризации и растворения триоксана и тетраоксана. Тепловой эффект перехода $\text{TO}_{p-p} \rightarrow \Pi_{kp}^*$ в нитробензоле равен $\Delta H = -5,1$ ккал/мол и в хлористом метилене $\Delta H = -4,7$ ккал/мол, реакция экзотермическая. По данным Лииза и Баумбера⁽⁵⁾ в дихлорэтане $\Delta H_{\text{TO}_{p-p} \rightarrow \Pi_{kp}} = -6,27$ ккал/мол.

* TO_{p-p} -триоксан растворенный; Π_{kp} — полимер кристаллический.

Для триоксана, который по аналогии с другими шестичленными циклами не является напряженным, это достаточно большие тепловые эффекты полимеризации. Но поскольку оценен тепловой эффект процесса, в котором мономер и полимер находятся в разных фазовых состояниях, то найденная величина включает в себя теплоту фазового перехода $\Pi_{p-p} \rightarrow \Pi_{kp}$.

Определить теплоту растворения полимера невозможно, так как он не растворим в используемых растворителях вплоть до очень высоких температур. Нами были измерены интегральные энталпии растворения триоксана в этих растворителях при концентрациях, близких к тем, при которых определялись тепловые эффекты полимеризации. Эти величины в нитробензоле и хлористом метилене равны соответственно: $\Delta H = 3,7$ и $\Delta H = 3,2$ ккал/мол, т. е. растворение триоксана является эндотермическим процессом.

Полученные данные позволили оценить по закону Гесса энталпию перехода $\text{TO}_{kp} \rightarrow \Pi_{kp}$, в котором исходный и конечный продукты находятся в одном и том же фазовом состоянии. Величины энталпии, определенные из данных в нитробензоле и хлористом метилене, равны $= -1,5$ ккал/мол.

Найденная нами величина теплового эффекта перехода $\text{TO}_{kp} \rightarrow \Pi_{kp}$ хорошо согласуется с литературными данными, где ΔH этого перехода оценина другими способами. Так, из теплот сгорания мономера (120,9 ккал/мол CH_2O) и полимера (120,3 ккал/мол CH_2O), полученных Делепине (7), $\Delta H = -1,8$ ккал/мол ТО, из теплоты сгорания триоксана, определенной Суннером (120,75 ккал/мол CH_2O) (3) и полимера (120,3 ккал/мол CH_2O) (7) $\Delta H = -1,35$ ккал/мол ТО. По предварительным данным А. К. Бонецкой и С. М. Скуратова с сотрудниками, тепловой эффект полимеризации кристаллического триоксана в присутствии $\text{BF}_3 \cdot \text{EtO}$, измеренный с помощью двойного калориметра, имеет величину порядка $\Delta H \sim -2$ ккал/мол ТО. Энталпия полимеризации кристаллического триоксана, оцененная из температурной зависимости его равновесного давления над твердым полимером с учетом теплоты сублимации триоксана, также равна $\Delta H = 2$ ккал/мол (4).

Для второго мономера — восьмичленного тетраоксана (табл. 1) аналогичным образом были определены тепловой эффект перехода $\text{TTO}_{p-p} \rightarrow \Pi_{kp}$ в нитробензоле ($\Delta H = -6,2$ ккал/мол) и интегральная энталпия растворения тетраоксана в этом растворителе ($\Delta H = 5,3$ ккал/мол). Из этих данных рассчитана энталпия перехода $\text{TTO}_{kp} \rightarrow \Pi_{kp} = (\Delta H - 0,9)$ ккал/мол.

Полученное значение теплового эффекта перехода $\text{TTO}_{kp} \rightarrow \Pi_{kp}$ удовлетворительно согласуется с данными, полученными другими исследователями. Так, энталпия этого перехода, оцененная из теплот сгорания тетраоксана (120,55 ккал/мол CH_2O) (3) и полимера (120,3 ккал/мол CH_2O) (7) равна $\Delta H = -1,0$ ккал/мол ТТО. Тепловой эффект радиационной полимеризации кристаллического тетраоксана, определенный при помощи дифференциального микрокалориметра Кальвэ, равен $\Delta H = -0,8$ ккал/мол ТТО (6).

Таблица 1
Энталпии реакций полимеризации и растворения триоксана и тетраоксана

Растворитель	Процесс	ΔH , ккал/мол
Нитробензол	$\text{TO}_{p-p} \rightarrow \Pi_{kp}^*$	$-5,1 \pm 0,1$
	$\text{TO}_{kp} \rightarrow \text{TO}_{p-p}$	$3,7 \pm 0,1$
	$\text{TO}_{kp} \rightarrow \Pi_{kp}$	$-1,4 \pm 0,1$
Хлористый метилен	$\text{TO}_{p-p} \rightarrow \Pi_{kp}^*$	$-4,7 \pm 0,1$
	$\text{TO}_{kp} \rightarrow \text{TO}_{p-p}$	$3,2 \pm 0,1$
	$\text{TO}_{kp} \rightarrow \Pi_{kp}$	$-1,5 \pm 0,1$
Нитробензол	$\text{TTO}_{p-p} \rightarrow \Pi_{kp}$	$-6,2 \pm 0,1$
	$\text{TTO}_{kp} \rightarrow \text{TTO}_{p-p}$	$5,3 \pm 0,1$
	$\text{TTO}_{kp} \rightarrow \Pi_{kp}$	$-0,9 \pm 0,1$

* Ранее нами сообщалось (12), что при полимеризации триоксана в системе присутствуют равновесные концентрации СТТО и СФА (формальдегида). Но поскольку СФА незначительна ($\sim 10^{-3}$ мол/л), а тепловой эффект перехода $\text{TO}_{p-p} \rightarrow \text{TTO}_{p-p}$ мал, то мы пренебрегаем побочными равновесными продуктами.

соответственно $\Delta H = -1,4$ и $\Delta H =$

Таким образом, тепловые эффекты переходов $\text{TO}_{\text{kp}} \rightarrow \Pi_{\text{kp}}$ и $\text{TTO}_{\text{kp}} \rightarrow \Pi_{\text{kp}}$, полученные нами, имеют близкие значения: $\Delta H = -1,4$ и $\Delta H = -0,9$ ккал/мол соответственно.

Также оказываются близкими значения напряженностей этих циклов. Согласно данным Суннера (³), теплоты сгорания газообразных триоксана и тетраоксана в расчете на звено формальдегида практически не отличаются (125,26 и 125,30 ккал/мол CH_2O). Однако известно, что 8-членные циклы в отличие от 6-членных имеют значительную напряженность кольца. Так, о напряженности циклооктана имеются следующие данные: 8,3 (⁸); 9,6 (⁹); 10 ккал/м (¹⁰). Восьмичленный цикл с двумя атомами кислорода (пентаметиленформаль) также характеризуется высоким значением напряженности цикла — 12,8 ккал/мол (⁹).

В больших циклах, где не наблюдается искажения валентных углов, напряженность обусловлена взаимодействием валентно-несвязанных атомов. Известно, что в полиэтилене энергии гош- и транс-конформаций различаются на $\sim 0,8$ ккал/мол. Циклические молекулы обогащены менее выгодными гош-конформациями по сравнению с линейной цепочкой; это и приводит к значительным величинам напряженности больших углеводородных циклов.

Снижение напряженности тетраоксана по сравнению с упомянутыми восьмичленными циклами обусловлено его структурой — чередованием метиленовых групп и атомов кислорода, что уменьшает взаимодействие атомов водорода.

В молекулах такой структуры, как показано методом и.-к. спектроскопии на примере линейных олигомерных поликацеталей (¹¹), гош- и транс-конформации энергетически не различаются. В связи с этим наличие большего количества гош-конформаций не приводит к повышению энергии этого цикла и напряженность его мала.

Институт химической физики
Академии наук СССР
Москва

Поступило
14 X 1970

ЦИТИРОВАННАЯ ЛИТЕРАТУРА

- ¹ T. P. Melia, D. Bailey, A. Tyson, J. Appl. Chem., **17**, № 1, 15 (1967).
² G. A. Glegg, T. P. Melia, Makromol. Chem., **123**, 184 (1969). ³ M. Mansson, E. Morawetz et al, Acta chem. scand., **23**, № 1, 56 (1969). ⁴ Ал. Ал. Берлин, С. А. Вольфсон и др., Высокомолек. соед., № 2, 443 (1970). ⁵ L. Leese, M. W. Baumberg, Polymer, **6**, № 5, 269 (1965). ⁶ K. Nakatzuka, H. Suga, S. Seki, J. Polym. Sci., P. B, **7**, № 5, 361 (1969). ⁷ M. Delepine, M. Badoche, C. R., **214**, 777 (1942). ⁸ F. S. Dainton, T. R. E. Devlin, P. G. Small, Trans. Farad. Soc., **51**, 1710 (1955). ⁹ С. М. Скуратов, А. А. Стрепихеев и др., ДАН, **117**, № 2, 263 (1957). ¹⁰ G. Kaarsenmaker, J. Coops, Rec. trav. chim., Pays-Bas., **71**, 261 (1952). ¹¹ Э. Ф. Олейник, Диссертация, М., 1968. ¹² Ал. Ал. Берлин, К. А. Богданова и др., ДАН, **184**, № 5, 1128 (1969).